

### บทที่ 3

## การชดเชยกำลังไฟฟ้าด้วยดี-สเตตคอม สำหรับระบบไฟฟ้า 3 เฟส

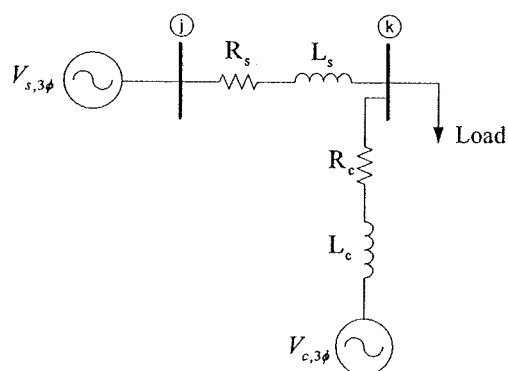
### แบบสมมาตร

#### 3.1 ความนำ

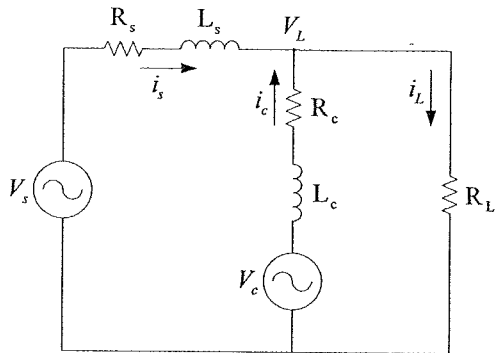
เนื้อหาในบทนี้กล่าวถึง แบบจำลองในสภาวะชั่วครู่ของดี-สเตตคอม สำหรับระบบไฟฟ้า 3 เฟส แบบสมมาตร เพื่อนำไปใช้กับการออกแบบตัวชดเชยสถานะป่อนกลับในสภาวะชั่วครู่สำหรับดี-สเตตคอม พร้อมทั้งกล่าวถึงผลการทดสอบตัวชดเชยสถานะป่อนกลับในสภาวะชั่วครู่สำหรับดี-สเตตคอม โดยดำเนินการจำลองสถานการณ์ความผิดพร่องด้วยการลัดวงจรในระบบจ่ายกำลังไฟฟ้า ทำให้เกิดแรงดันตกที่บัสโหนด และติดตั้งดี-สเตตคอมเพื่อชดเชยแรงดันให้มีขนาดแรงดันสูงขึ้น เพื่อให้ระบบสามารถกลับมาทำงานได้ตามปกติ และยังกล่าวถึงการวิเคราะห์เสถียรภาพของตัวชดเชย สถานะป่อนกลับในสภาวะชั่วครู่สำหรับดี-สเตตคอม

#### 3.2 แบบจำลองของดี-สเตตคอม สำหรับระบบไฟฟ้า 3 เฟสแบบสมมาตร

ดี-สเตตคอมที่ติดตั้งในระบบไฟฟ้า 3 เฟสในสภาวะชั่วครู่ ซึ่งจะไม่พิจารณาผลในสภาวะชั่วครู่จากการสับสั้นสวิตช์ของอินเวอร์เตอร์และตัวเก็บพลังงานแบบเชื่อมโยงดีซี สามารถพิจารณาได้เป็นแบบจำลองดังรูปที่ 3.1 กำหนดให้โหนดที่พิจารณาเป็นโหนดชนิดความต้านทาน ( $R_L$ ) และกำหนดให้  $R_c$  และ  $L_c$  คือ ค่าความต้านทานและความเหนี่ยวนำในตัวของดี-สเตตคอม ตามลำดับ จากรูปที่ 3.1 สามารถหาวงจรสมมูลของแบบจำลองได้ดังนี้



รูปที่ 3.1 แบบจำลองของดี-สเตตคอม สำหรับระบบไฟฟ้า 3 เฟสแบบสมมาตร



รูปที่ 3.2 วงจรสมมูลของแบบจำลองดี-สเตตคอม สำหรับระบบไฟฟ้า 3 เฟสแบบสมมาตร

ในงานวิจัยนี้กำหนดให้อินเวอร์เตอร์มีการออกแบบตัวกรอง (filter) ที่มีประสิทธิภาพและเหมาะสมที่จะกรอง harmonic อนิกอันดับสูง ๆ ได้ และหลังจากการกรอง harmonic อนิกอันดับสูง ๆ แล้วจะเหลือแต่ความถี่ฐาน (fundamental frequency) เท่านั้น ดังนั้นเราจึงสามารถถอดทิ้งผลจาก harmonic อนิกที่เกิดขึ้นจากการสับสัตว์ของอินเวอร์เตอร์ออกไปได้ ซึ่งเพียงพอที่จะนำเสนอในสภาวะชั่วครู่ แรงดันเอาต์พุตของอินเวอร์เตอร์ สามารถหาได้ดังนี้

$$V_c = V_c \sin(\omega t + \delta_c) \quad (3-1)$$

โดยที่  $V_c$  คือ แรงดันที่อินเวอร์เตอร์ของดี-สเตตคอมจ่ายให้กับระบบ

$V_c$  คือ ขนาดของแรงดันที่อินเวอร์เตอร์ของดี-สเตตคอมจ่ายให้กับระบบ

$\delta_c$  คือ มุมที่ใช้ควบคุมดี-สเตตคอม (control angle)

จากรูปที่ 3.2 ใช้หลักการกฎแรงดันของเคอร์ชอฟฟ์ (Kirchhoff's voltage law: KVL) โดยพิจารณาที่แหล่งจ่ายจะได้ว่า

$$L_s \frac{di_s}{dt} = -R_s i_s - V_L + V_s \quad (3-2)$$

และพิจารณาที่ดี-สเตตคอม จะได้ว่า

$$L_c \frac{di_c}{dt} = -R_c i_c - V_L + V_c \quad (3-3)$$

จากรูปที่ 3.2 ใช้หลักการกฎกระแสของเคอร์ชอฟฟ์ (Kirchhoff's current law: KCL) จะได้ว่า

$$i_c = i_L - i_s \quad (3-4)$$

แทนสมการที่ (3-4) ในสมการที่ (3-3) โดยที่  $i_L = V_L / R_L$  จะได้

$$L_c \frac{d\left(\frac{V_L}{R_L} - i_s\right)}{dt} = -R_c i_L + R_c i_s - V_L + V_c \quad (3-5)$$

$$\left(\frac{L_c}{R_L}\right) \frac{dV_L}{dt} - L_c \frac{di_s}{dt} = \left(\frac{-R_c - R_L}{R_L}\right) V_L + R_c i_s + V_c \quad (3-6)$$

จัดรูปสมการใหม่จะได้

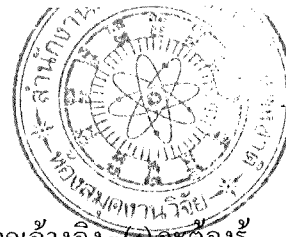
$$-\frac{di_s}{dt} + \left(\frac{1}{R_L}\right) \frac{dV_L}{dt} = \left(\frac{-R_c - R_L}{R_L L_c}\right) V_L + \left(\frac{R_c}{L_c}\right) i_s + \left(\frac{1}{L_c}\right) V_c \quad (3-7)$$

จากสมการที่ (3-2) และสมการที่ (3-7) สามารถนำมาเขียนให้อยู่ในรูปสมการปริภูมิสถานะ (state-space equation) ได้ดังสมการที่ (3-8)

$$\begin{bmatrix} 1 & 0 \\ -1 & \frac{1}{R_L} \end{bmatrix} \begin{bmatrix} \frac{di_s}{dt} \\ \frac{dV_L}{dt} \end{bmatrix} = \begin{bmatrix} -\frac{R_s}{L_s} & -\frac{1}{L_s} \\ \frac{R_c}{L_c} & \frac{-R_c - R_L}{R_L L_c} \end{bmatrix} \begin{bmatrix} i_s \\ V_L \end{bmatrix} + \begin{bmatrix} \frac{1}{L_s} & 0 \\ 0 & \frac{1}{L_c} \end{bmatrix} \begin{bmatrix} V_s \\ V_c \end{bmatrix} \quad (3-8)$$

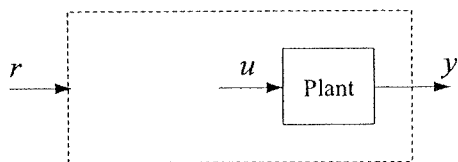
จัดรูปสมการใหม่จะได้แบบจำลองของคี-สแตตคอม สำหรับระบบไฟฟ้า 3 เพลสแบบสมมาตร แสดงได้ดังสมการที่ (3-9)

$$\begin{bmatrix} \frac{di_s}{dt} \\ \frac{dV_L}{dt} \end{bmatrix} = \begin{bmatrix} -\frac{R_s}{L_s} & -\frac{1}{L_s} \\ -\frac{R_L R_s}{L_s} + \frac{R_L R_c}{L_c} & -\frac{R_L}{L_s} - \frac{R_c}{L_c} - \frac{R_L}{L_c} \end{bmatrix} \begin{bmatrix} i_s \\ V_L \end{bmatrix} + \begin{bmatrix} \frac{1}{L_s} & 0 \\ \frac{R_L}{L_s} & \frac{R_L}{L_c} \end{bmatrix} \begin{bmatrix} V_s \\ V_c \end{bmatrix} \quad (3-9)$$



### 3.3 การออกแบบตัวชุดเชยสถานะป้อนกลับในสภาพชั่วครุ่งสำหรับดี-สมัยตอน

ระบบควบคุมส่วนมากจะมีโครงสร้างดังรูปที่ 3.3 ซึ่งพลาณ์และสัญญาณอ้างอิง ( $r$ ) จะต้องรู้มาก่อนแล้ว อินพุต ( $u$ ) ของพลาณ์ เรียกว่า สัญญาณขับเร้าช์ (actuating signal) หรือ สัญญาณควบคุม (control signal) เอาต์พุต  $y(t)$  ของพลาณ์ เรียกว่า พลาณ์เอาต์พุต (plant output) หรือ controlled signal ปัญหาที่คือการออกแบบระบบรวมทั้งหมดเพื่อให้ได้มาซึ่งพลาณ์เอาต์พุตตามสัญญาณอ้างอิงได้อย่างไกลีเดียเท่าที่จะทำได้ ซึ่งจะมีวิธีการควบคุมอยู่ 2 วิธี ถ้าสัญญาณเร้าช์ขึ้นอยู่กับสัญญาณอ้างอิงเท่านั้น และไม่เกี่ยวข้องกับพลาณ์เอาต์พุต การควบคุมนี้ เรียกว่า การควบคุมแบบวงเปิด (open-loop control) และถ้าสัญญาณเร้าช์ขึ้นอยู่กับสัญญาณอ้างอิงและพลาณ์เอาต์พุต การควบคุมนี้ เรียกว่า การควบคุมแบบวงปิด (closed-loop control) หรือการควบคุมแบบป้อนกลับ (feedback control) [11]



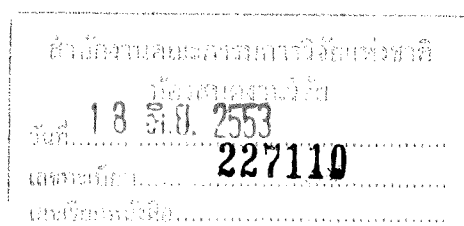
รูปที่ 3.3 การออกแบบระบบควบคุม

โดยทั่วไปการควบคุมระบบวงเปิดยังให้ผลการควบคุมไม่เป็นที่น่าพอใจถ้าเกิดการเปลี่ยนแปลงค่าพารามิเตอร์ของพลาณ์ ซึ่งนั่นหมายถึงสัญญาณหรือพลังงานอื่น ๆ จากรายนอกเข้าไปกระทำกับระบบ สัญญาณที่แทรกเข้ามายังจากภายนอกเหล่านี้ เรียกว่า การรบกวน (disturbances) ตัวการควบคุมแบบป้อนกลับสามารถช่วยลดผลกระทบจากการเปลี่ยนแปลงค่าพารามิเตอร์ของ พลาณ์ และกำจัดสัญญาณรบกวนหรือการรบกวนอื่น ๆ ได้ [11] ดังนั้นการควบคุมแบบป้อนกลับจึงสามารถนำไปใช้ประโยชน์ได้อย่างกว้างขวางในทางปฏิบัติ ในหัวข้อนี้กล่าวถึงการออกแบบตัวชุดเชยสถานะป้อนกลับ โดยใช้สมการปริภูมิสถานะ (state-space equation) ดังรายละเอียดต่อไปนี้

พิจารณาสมการสถานะตัวแปรเดี่ยวยานพาหนะ  $n$  จะได้ว่า

$$\begin{aligned} \dot{x} &= Ax + bu \\ y &= cx + du \end{aligned} \tag{3-10}$$

โดยกำหนดให้  $d = 0$  เพื่อจะได้พิจารณาอย่างง่าย ในสถานะป้อนกลับ (state feedback) อินพุต  $u$  จะหาได้โดย

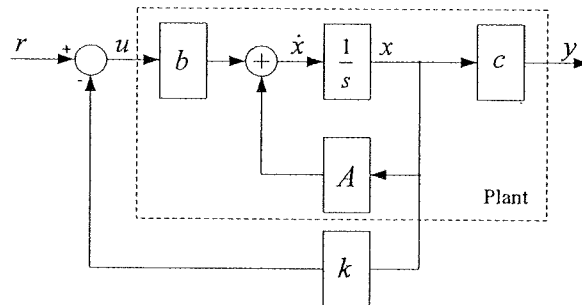


$$u = r - kx = r - [k_1 \quad k_2 \quad \dots \quad k_n]x = r - \sum_{i=1}^n k_i x_i \quad (3-11)$$

นำสมการที่ (3-11) แทนในสมการที่ (3-10) จะได้

$$\begin{aligned} \dot{x} &= (A - bk)x + br \\ y &= cx \end{aligned} \quad (3-12)$$

แสดงได้ดังรูปที่ 3.4 แต่ถ้าอัตราขยายป้อนกลับ  $k_i$  (feedback gain) จะเป็นค่าคงที่จำนวนจริง ซึ่งเรียกว่า อัตราขยายคงที่ของสถานะป้อนกลับแบบคง (constant gain negative state feedback) หรือเรียกง่าย ๆ ว่า สถานะป้อนกลับ การหาค่าอัตราขยายป้อนกลับนี้สามารถหาได้โดยใช้ฟังก์ชัน *place* ในโปรแกรม MATLAB โดยเงื่อนไขในการเลือก closed-loop pole คือ ต้องมีความอินพุตต์องมีค่าการผุ่งเกิน (overshoot)  $P.O. \leq 10\%$  และช่วงเวลาเข้าที่ (settling time)  $T_s = 3$  มิลลิวินาที



รูปที่ 3.4 โครงสร้างสถานะป้อนกลับ

ซึ่งจากสมการที่ (3-12) จะได้เมทริกซ์  $A - bk$  หรือ  $A'$  ดังนี้

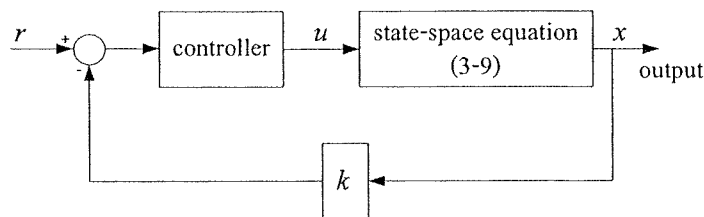
$$A' = A - bk = \begin{bmatrix} \frac{-R_s - k_{11}}{L_s} & \frac{1}{L_s} - \frac{k_{12}}{L_s} \\ \frac{-R_L R_s + R_L R_c}{L_s} - \frac{R_L k_{11}}{L_s} - \frac{R_L R_c k_{21}}{L_c} & \frac{-R_L}{L_s} + \frac{(-R_c - R_L)}{L_c} - \frac{R_L k_{12}}{L_s} - \frac{R_L R_c k_{22}}{L_c} \end{bmatrix} \quad (3-13)$$

เมื่อพิจารณาถึงการออกแบบด้วยชุดเซยสถานะป้อนกลับสำหรับคี-สแเต็คคอม จากแบบจำลอง ของคี-สแเต็คคอม สำหรับระบบไฟฟ้า 3 เฟสแบบสมมาตรในสมการที่ (3-9) จะได้ว่า ตัวแปรสถานะ (state variables) คือ กระแสจากแหล่งจ่าย  $i_s$  (current source) และแรงดันโหลด  $V_L$  (load voltage)

ส่วนตัวแปรอินพุต (input variables) คือ แรงดันจากแหล่งจ่าย  $V_s$  (voltage source) และแรงดันที่อินเวอร์เตอร์ของคี-สเตตคอม ที่เชื่อมต่อเข้ากับระบบ  $V_c$  (voltage compensation) ดังนั้นจากสมการที่ (3-11) สามารถหาอินพุต  $u$  ได้ดังนี้

$$\begin{bmatrix} V_s \\ V_c \\ V_L^{ref} \end{bmatrix} = \begin{bmatrix} i_s^{ref} \\ k_{11} & k_{12} \\ k_{21} & k_{22} \end{bmatrix} \begin{bmatrix} i_s \\ V_L \end{bmatrix} \quad (3-14)$$

จากสมการที่ (3-14) จะได้โครงสร้างของตัวชดเชยสถานะป้อนกลับสำหรับคี-สเตตคอม ดังรูปที่ (3.5)



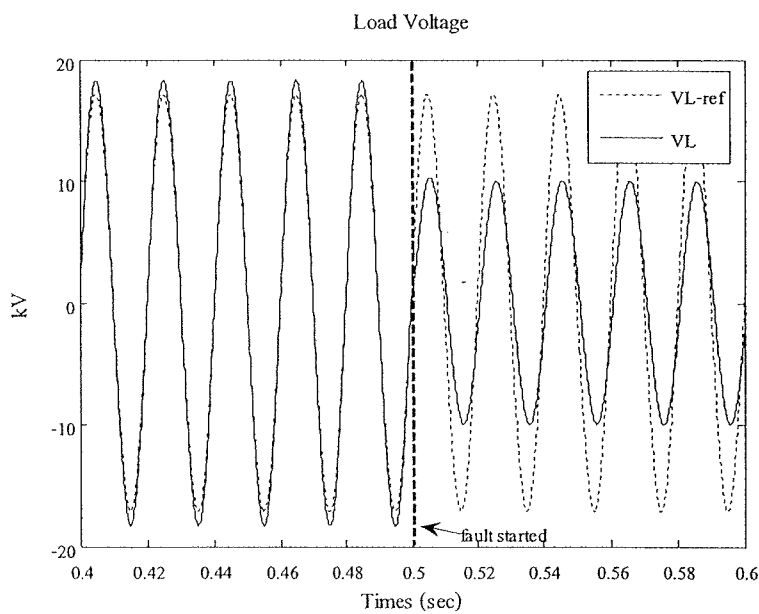
รูปที่ 3.5 โครงสร้างของตัวชดเชยสถานะป้อนกลับสำหรับคี-สเตตคอม

ในงานวิจัยนี้ใช้ตัวควบคุมแบบสัดส่วน (proportional controller) เนื่องจากมีรูปแบบการทำงานที่ง่ายและไม่ซับซ้อน โดยเป็นการควบคุมเอาต์พุตของตัวควบคุมโดยการปรับอัตราขยายของตัวควบคุม หรือค่าพารามิเตอร์การควบคุมแบบสัดส่วน ( $k_p$ ) เพื่อให้อาต์พุตของตัวควบคุมสามารถเปลี่ยนแปลงค่าได้ตามความต้องการและทำให้ผลตอบสนองของระบบเข้าสู่ค่าเป้าหมาย

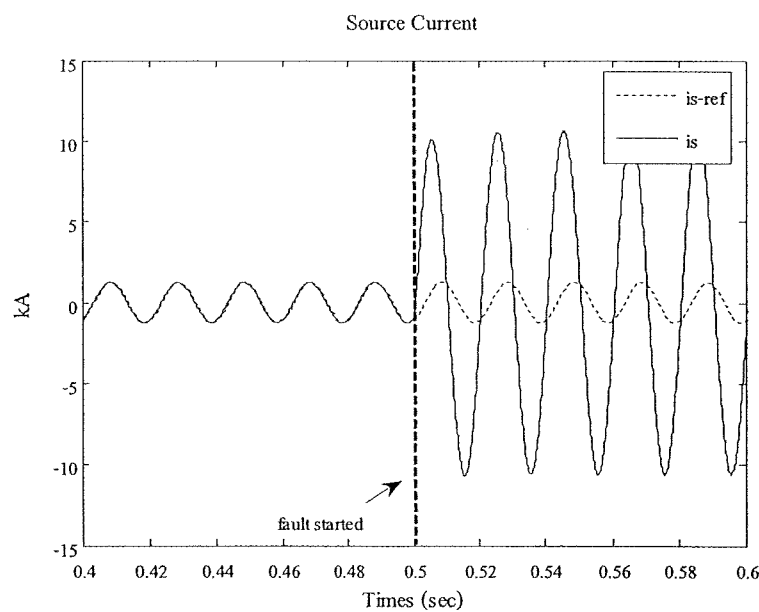
### 3.4 ผลการทดสอบตัวชดเชยสถานะป้อนกลับในสภาพห้องสำหรับคี-สเตตคอม

ในการทดสอบตัวชดเชยสถานะป้อนกลับสำหรับคี-สเตตคอม จะทดสอบกับระบบทดสอบอย่างง่าย 2 บัส ซึ่งเป็นระบบจ่ายกำลังไฟฟ้า 3 เฟสแบบสมมาตร ข้อมูลระบบทดสอบแสดงไว้ในภาคผนวก ก.1 การทดสอบจะจำลองความผิดปกติของระบบไฟฟ้า โดยเกิดลัดวงจร 3 เฟสสมมาตรที่บัสโอลด์ เมื่อเกิดลัดวงจรในระบบจะทำให้ระบบไฟฟ้ามีแรงดันที่บัสโอลด์ลดลง และติดตั้งคี-สเตตคอมที่บัสโอลด์ เพื่อยกระดับแรงดันที่ตกเนื่องมาจากการลัดวงจร สามารถแสดงผลทดสอบเบรียบเทียบแรงดันที่บัสโอลด์ และกระแสจากแหล่งจ่ายของระบบไฟฟ้าในสภาพผิดพร่องเมื่อไม่มีตัวควบคุมกับมีตัวควบคุม ได้ดังนี้

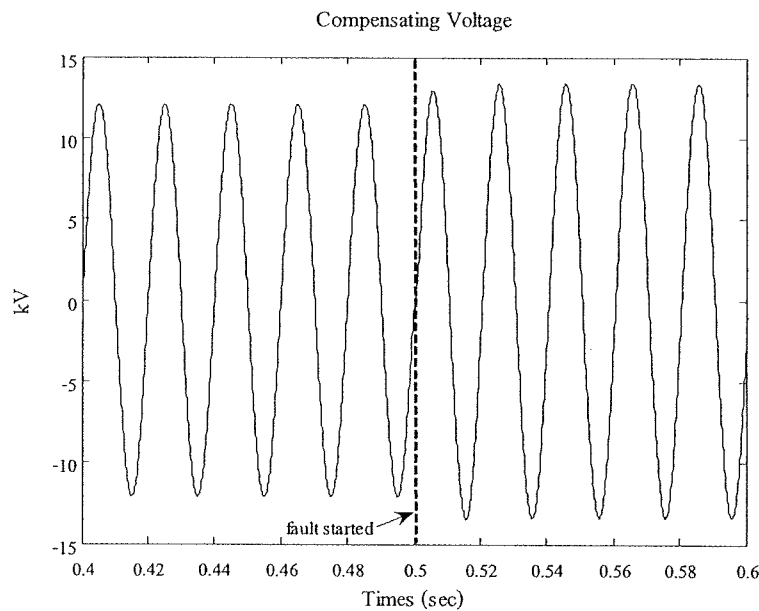
### 3.4.1 สภาวะผิดพร่อง (ไม่มีตัวควบคุม)



รูปที่ 3.6 เมริบเทียบแรงดันโหลดอ้างอิงกับที่จำลองผลได้ ในสภาวะผิดพร่อง (ไม่มีตัวควบคุม)



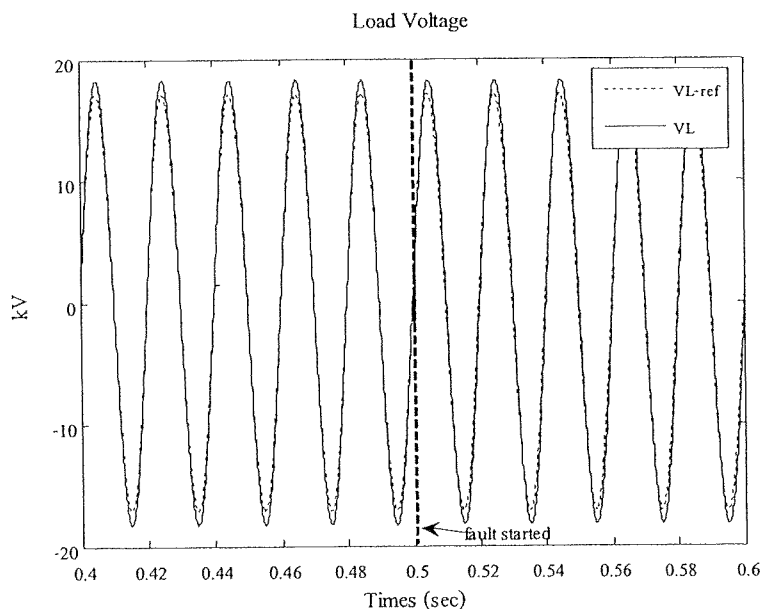
รูปที่ 3.7 เมริบเทียบกระแสจากแหล่งจ่ายอ้างอิงกับที่จำลองผลได้ ในสภาวะผิดพร่อง (ไม่มีตัวควบคุม)



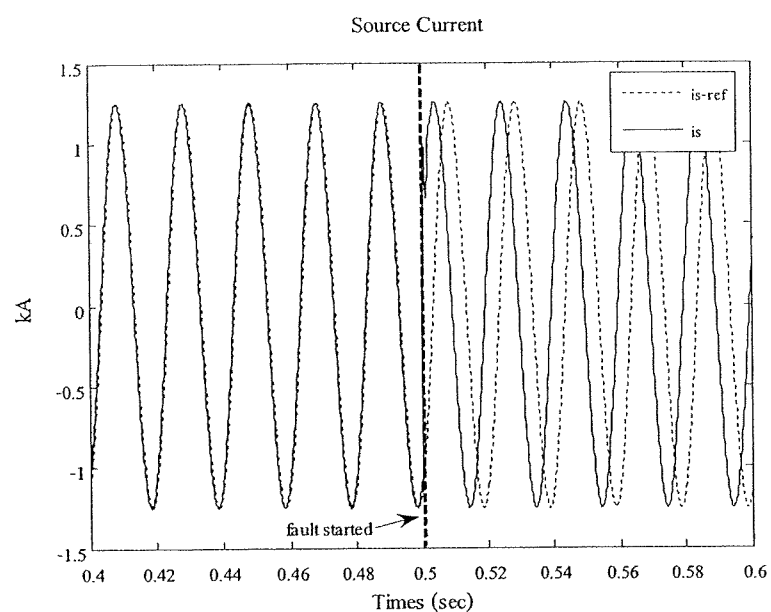
รูปที่ 3.8 แรงดันที่ดี-สแตตคอมจ่ายให้กับระบบ ในสภาวะผิดพร่อง (ไม่มีตัวควบคุม)

รูปที่ 3.6 แสดงผลการเปรียบเทียบแรงดันโหนดอ้างอิงกับที่จำลองผลได้ ในสภาวะผิดพร่องเมื่อไม่มีตัวควบคุม สังเกตได้ว่า ขณะเกิดความผิดพร่องที่เวลา 0.5 วินาที ทำให้เกิดแรงดันตกเนื่องมาจากการลัดวงจร รูปที่ 3.7 แสดงผลการเปรียบเทียบกระแสจากแหล่งจ่ายอ้างอิงกับที่จำลองผลได้ ในสภาวะผิดพร่องเมื่อไม่มีตัวควบคุม ขนาดกระแสจากแหล่งจ่ายที่จำลองผลได้มีค่าสูงมากเมื่อเทียบกับกระแสจากแหล่งจ่ายอ้างอิง และรูปที่ 3.8 แสดงแรงดันที่ดี-สแตตคอมจ่ายให้กับระบบ ในสภาวะผิดพร่องเมื่อไม่มีตัวควบคุมสังเกตได้ว่าขณะเกิดความผิดพร่อง แรงดันที่ดี-สแตตคอมจ่ายให้กับระบบจะมีขนาดแรงดันมากขึ้นเรื่อยๆ แต่ไม่มาก เพราะเนื่องจากไม่มีตัวควบคุม ก่อนเข้าสู่สภาวะคงตัวในที่สุด

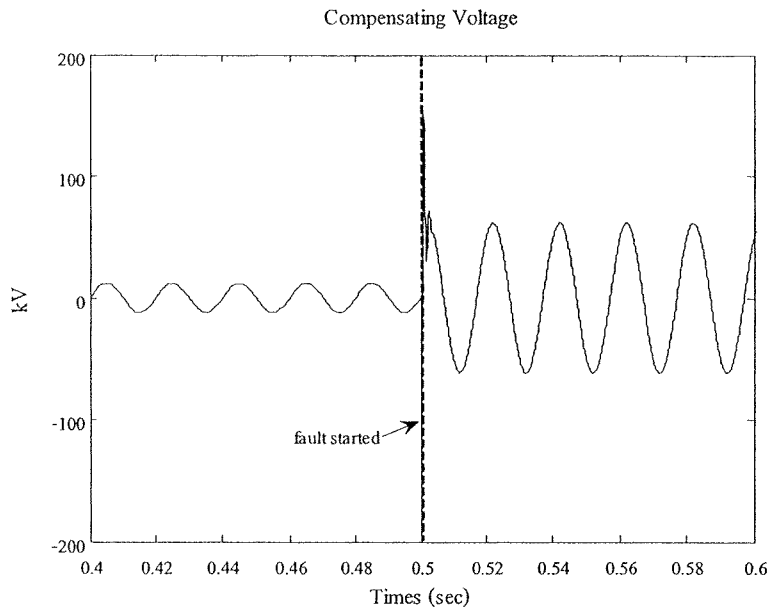
### 3.4.2 ສກາວະຜິດພຣ່ອງ (ມີຕັວຄວນຄຸນ)



ຮູບທີ 3.9 ເປົ້າຍບໍເຫັນແຮງດັນໄລດົດຂ້າງອີງກັນທີຈຳລອງຜລໄດ້ ໃນສກາວະຜິດພຣ່ອງ (ມີຕັວຄວນຄຸນ)



ຮູບທີ 3.10 ເປົ້າຍບໍເຫັນກຮະແສຈາກແລ່ລົງຈ່າຍຂ້າງອີງກັນທີຈຳລອງຜລໄດ້ ໃນສກາວະຜິດພຣ່ອງ  
(ມີຕັວຄວນຄຸນ)



รูปที่ 3.11 แรงดันที่ดี-สเตตคอมจ่ายให้กับระบบ ในสภาวะผิดพร่อง (มีตัวควบคุม)

รูปที่ 3.9 แสดงผลการเปรียบเทียบแรงดันโหนดอ้างอิงกับที่จำลองผลได้ ในสภาวะผิดปกติเมื่อมีตัวควบคุม สังเกตได้ว่า ขณะเกิดความผิดพร่องที่เวลา 0.5 วินาที ตัวควบคุมสามารถช่วยลดเชยแรงดันที่ตกเนื่องจาก การลัดวงจร ได้เป็นอย่างดี รูปที่ 3.10 แสดงผลการเปรียบเทียบกระแสจากแหล่งจ่ายอ้างอิงกับที่จำลองผลได้ ในสภาวะผิดพร่อง เมื่อมีตัวควบคุม สังเกตได้ว่าขณะเกิดความผิดพร่อง ขนาดกระแสจากแหล่งจ่ายที่จำลองผล ได้มีค่าเท่ากับกระแสจากแหล่งจ่ายอ้างอิง แต่نمูฟเฟสไม่เท่ากัน ในงานวิจัยนี้ พิจารณาเฉพาะขนาดเท่านั้น โดยไม่พิจารณาถึงنمูฟเฟสแต่อย่างใด รูปที่ 3.11 แสดงแรงดันที่ดี-สเตตคอมจ่ายให้กับระบบ ในสภาวะผิดพร่อง เมื่อมีตัวควบคุม สังเกตได้ว่าขณะเกิดความผิดพร่อง แรงดันที่ดี-สเตตคอมจ่ายให้กับระบบ มีการกระแสเพื่อมของแรงดันมากในช่วงแรก ก่อนเข้าสู่สภาวะคงตัวในที่สุด ซึ่งเกิดจากการชดเชยแรงดันของดี-สเตตคอม

จากการทดสอบทั้งหมดสามารถสรุปผลการทดสอบเปรียบเทียบแรงดันที่บัสโหนดและกระแสจากแหล่งจ่ายของระบบไฟฟ้า ในสภาวะผิดพร่อง เมื่อมีตัวควบคุมกับมีตัวควบคุมได้ดังตารางที่ 3.1 และ 3.2

ตารางที่ 3.1 ผลการทดสอบเปรียบเทียบแรงดันที่บัส荷ลตในสภาวะผิดพร่องเมื่อไม่มีตัวควบคุม กับมีตัวควบคุม

สถานะ	แรงดันที่บัส荷ลต RMS (kV)	
	ไม่มีตัวควบคุม	มีตัวควบคุม
ปกติ	13.024	13.024
ผิดพร่อง	7.128	13.018

ตารางที่ 3.2 ผลการทดสอบเปรียบเทียบกระแสแหล่งจ่ายในสภาวะผิดพร่องเมื่อไม่มีตัวควบคุม กับมีตัวควบคุม

สถานะ	กระแสจากแหล่งจ่าย RMS (kA)	
	ไม่มีตัวควบคุม	มีตัวควบคุม
ปกติ	0.892	0.892
ผิดพร่อง	7.545	0.894

ผลการทดสอบนี้จะมีค่าอัตราขยายป้อนกลับ  $k_{11} = 0.7700$ ,  $k_{12} = 1.1830$ ,  $k_{13} = -770$ ,  $k_{14} = 45$  และอัตราขยายของตัวควบคุม  $k_p = 5.92$

### 3.5 การวิเคราะห์ความสามารถควบคุมได้และความสามารถสังเกตได้ของตัวชดเชยสถานะป้อนกลับสำหรับดี-สแಟคอม

#### 3.5.1 ตรวจสอบความสามารถควบคุมได้ (controllable)

ให้เมทริกซ์  $A$  และ  $b$  คือ เมทริกซ์ขนาด  $n \times n$  และ  $n \times p$  ตามลำดับ จะได้ว่า

$$C = \begin{bmatrix} b & Ab & \cdots & A^{n-p}b \end{bmatrix}$$

ระบบจะสามารถควบคุมได้นั่นก็ต่อเมื่อเมทริกซ์ความควบคุมได้ (controllability matrix)  $C$  มีอันดับ (rank) เท่ากับ  $n$  ในการตรวจสอบความสามารถควบคุมได้นั่น สามารถตรวจสอบได้โดยใช้ฟังก์ชัน  $ctrb$  ในโปรแกรม MATLAB เพื่อหาเมทริกซ์ความควบคุมได้และสามารถหาอันดับได้โดยใช้ฟังก์ชัน  $rank$  ในโปรแกรม MATLAB

ผลการตรวจสอบ

$$\text{controllability matrix} = \begin{bmatrix} 2500 & 0 & -5.4634 \times 10^9 & -2.2899 \times 10^8 \\ 1e6 & 41958 & -4.0067 \times 10^{12} & -1.7141 \times 10^{11} \end{bmatrix}$$

ผลการตรวจสอบพบว่า เมทริกซ์  $A'$  มี  $n$  เท่ากับ 2 ส่วนอันดับของเมทริกซ์ความควบคุมได้ก็เท่ากับ 2 แสดงว่า “ระบบสามารถควบคุมได้”

**3.5.2 ตรวจสอบความสามารถสังเกตได้ (observable)**

ให้เมทริกซ์  $A$  และ  $c$  คือ เมทริกซ์ขนาด  $n \times n$  และ  $q \times n$  ตามลำดับ จะได้ว่า

$$O = \begin{bmatrix} c & cA & \dots & cA^{n-q} \end{bmatrix}^T$$

ระบบจะสามารถสังเกตได้นั่นก็ต่อเมื่อเมทริกซ์ความสังเกตได้ (observability matrix)  $O$  มีอันดับ (rank) เท่ากับ  $n$  ใน การตรวจสอบความสามารถควบคุมได้นั่น สามารถตรวจสอบได้ โดยใช้ฟังก์ชัน  $obsv$  ในโปรแกรม MATLAB เพื่อหาเมทริกซ์ความสังเกตได้และสามารถหาอันดับได้โดยใช้ฟังก์ชัน  $rank$  ในโปรแกรม MATLAB

ผลการตรวจสอบ

$$\text{observability matrix} = \begin{bmatrix} 1 & 0 \\ 0 & 1 \\ -2375 & -5457.5 \\ 3.14 \times 10^7 & -4.0852 \times 10^6 \end{bmatrix}$$

ผลการตรวจสอบพบว่า เมทริกซ์  $A'$  มี  $n$  เท่ากับ 2 ส่วนอันดับของเมทริกซ์ความสังเกตได้เท่ากับ 2 แสดงว่า “ระบบสามารถสังเกตได้”

**3.6 สรุป**

จากเนื้อหาในบทนี้ที่กล่าวถึง แบบจำลองในสภาพะชั่วครู่ของดี-สแตตคอม สำหรับระบบไฟฟ้า 3 เพลส แบบสมมาตร การออกแบบตัวชุดเชยสถานะป้อนกลับในสภาพะชั่วครู่สำหรับดี-สแตตคอม พร้อมทั้งกล่าวถึงผลการทดสอบตัวชุดเชยสถานะป้อนกลับในสภาพะชั่วครู่สำหรับดี-สแตตคอม โดยดำเนินการจำลองสถานการณ์ความผิดพร่องด้วยการลัดวงจรในระบบจ่ายกำลังไฟฟ้า ทำให้เกิดแรงดันตกที่บัส荷ลด และติดตั้งดี-สแตตคอมเพื่อชดเชยแรงดันให้มีขนาดแรงดันสูงขึ้น เพื่อให้ระบบสามารถ

กลับมาทำงานได้ตามปกติ ซึ่งผลการทดสอบที่ได้นั้นแสดงให้เห็นว่า ตัวชุดเชยสถานะป้อนกลับใน สภาวะชั่วครู่สำหรับดี-สแಡຕคอมสามารถชดเชยแรงดันให้มีขนาดแรงดันสูงขึ้น เพื่อให้ระบบสามารถ กลับมาทำงานตามปกติได้เป็นอย่างดี และยังกล่าวถึงการวิเคราะห์ความสามารถควบคุม ได้และ ความสามารถสังเกต ได้ของตัวชุดเชยสถานะป้อนกลับในสภาวะชั่วครู่สำหรับดี-สแଡຕคอม ซึ่งจากการ วิเคราะห์จะเห็นว่า ระบบเมื่อติดตั้งตัวชุดเชยสถานะป้อนกลับในสภาวะชั่วครู่สำหรับดี-สแಡຕคอม มี ความสามารถควบคุมได้ และสามารถสังเกตได้ โดยเนื้อหาที่กล่าวในบทนี้เป็นการชดเชยกำลังไฟฟ้า ด้วยดี-สแಡຕคอมสำหรับระบบไฟฟ้า 3 เฟส แบบสมมาตรจะนำไปเปรียบเทียบกับการชดเชย กำลังไฟฟ้าด้วยดี-สแಡຕคอมสำหรับระบบไฟฟ้า 3 เฟส แบบไม่สมมาตร ซึ่งจะกล่าวในบทที่ 4 ต่อไป